

QORXMAZ HÜSEYNOV

Ag₄Sn₃S₈ BİRLƏŞMƏSİNİN ALINMASI VƏ FİZİKİ-KİMYƏVİ XASSƏLƏRİNİN TƏDQİQİ

İşdə gümüş-nitratın suda məhlulu və qalay(IV) sulfidin etilendiamində məhlulu əsasında Ag₄Sn₃S₈ birləşməsinin hidrotermal metodla alınma şəraiti tədqiq edilmişdir. Differensial-termini (DTA) və rentgenfaza (RFA) analiz metodları vasitəsilə birləşmənin fərdiliyi təsdiq edilmişdir. Məlum olmuşdur ki, Ag₄Sn₃S₈ birləşməsi 917 K-də Ag₂Sn₃S₈ → 2Ag₂Sn₃S₈ + SnS₂ reaksiyası üzrə parçalanır, 955 K-də inkonqruent əriyir. Birləşməni 470 K temperaturda termiki emal etdiğədə kub sinqoniyada kristallaşır. Skanedici elektron mikroskopik (SEM) analiz metodlu ilə Ag₄Sn₃S₈ birləşməsinin mikromorfologiyası öyrənilmiş, nanoqurulusların ölçülə effektlərinə və formasına temperaturun, qatılığın və termiki emal müddədinin təsiri araşdırılmışdır. Müəyyən edilmişdir ki, 353 K temperaturda nanohissəciklər, 373 K və 403 K temperaturlarda isə mikrohissəciklər formalaşır. Birləşmənin tərkibi kimyəvi, termogrammatik və element analiz (energi-dispers spektri) analiz metodları vasitəsilə tədqiq edilmiş və sədə formulü dəqiqləşdirilmişdir.

Açar sözlər: sistem, gümüş tiostannat, gümüş-nitrat, qalay(IV) sulfid, məhlul, temperatur, polimorf çevrilmə, termiki emal, mikromorfologiya, analiz, tərkib.

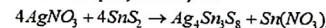
Giriş. Ag-Sn-S sistemində bir sıra üçlü birləşmələr (Ag₂SnS₃, Ag₂Sn₂S₅, Ag₄Sn₃S₈ və Ag₈Sn₆) və ərintilər mövcuddur. Bu birləşmələr və onlar əsasında alınmış ərintilər yaxşı yarımkürəci xassələrə malikdir. Gümüşün tiostannatları (Ag₂Sn₃, Ag₂Sn₂S₅, Ag₄Sn₃S₈ və Ag₈Sn₆) perspektivli materiallər sırasına daxil olub, foto- və termoelektrik xassələr göstərir [1-9].

Ag₈Sn₆ birləşməsinin polimorf çevrilmə temperaturu 444 K, konqruent ərimə temperaturu isə 1125 K-dir. Bu birləşmənin hər iki modifikasiyası Ag₈Ge₆ birləşməsinin kris-tallik modifikasiyaları ilə izoquruluşludur: $a=1,5298$, $b=0,7548$, $c=1,0699 \text{ nm}$ [1, 2]. Ag₂Sn₃ birləşməsi 936 K-də konqruent əriyir və monoklin sinqoniyada (F. qr.: ; n.p.: $a=0,627$, $b=0,5796$, $c=1,3179 \text{ nm}$, $b=93,27^\circ$) kristallaşır. Ag₂Sn₂S₅ və Ag₄Sn₃S₈ birləşmələri müvafiq olaraq 955 və 957 K temperaturlarda inkonqruent ərimə ilə xarakterizə olunurlar. Ag₄Sn₃S₈ birləşməsi 500 K temperaturda kub sinqoniyada kristallaşır: (F. qr.: $P4_32$) n.p.: $a=1,0799 \text{ nm}$ və $Z=4$ [8, 9]. Ədəbiyyat materiallarından məlum olmuşdur ki, bu birləşmələr yüksək temperatur və aşağı təzyiqdə (-10^2 Pa) elementar komponentləri və müvafiq sulfidləri birgə əritməklə sintez olunur. Lakin son dövrlər gümüşün bəzi tiostannatları (Ag₂Sn₃, Ag₈Sn₆) sulu məhlullarda sintez edilmiş və onların mikromorfologiyası öyrənilmişdir. Müəyyən edilmişdir ki, sulu məhlullarda bù birləşmələr əsasən nano- və mikrohissəcik halında alınır. Belə halda alınmış hissəciklərdə fərqli ölçü effektləri müşahidə olunur. Bu baxımdan, gümüşün tiostannatlarının müxtəlif üzvi həlledicilərdə və sulu məhlullarda alınması aktual məsələlərdən biridir [2-7].

Yuxarıda deyilənləri nəzərə alaraq biz, müxtəlif qatılıqlarda (0,01-0,1 M) hazırlanmış ilkin komponentlərin suda məhlulları əsasında Ag₄Sn₃S₈ birləşməsinin alınmasını qarşıya məqsəd qoymuşdur.

Məqalədə etilendiamin məhlulunda Ag₄Sn₃S₈ birləşməsinin alınması, fiziki-kimyəvi xassələrinin və mikromorfologiyasının tədqiqat nəticələri verilmişdir.

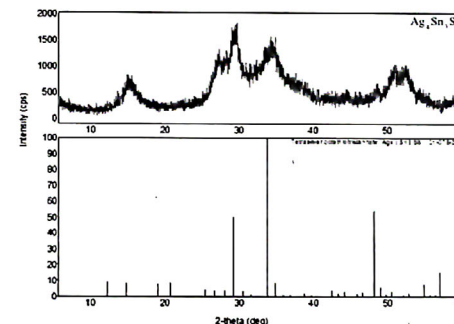
Təcrübü hissə. Etilendiamin məhlulunda Ag₄Sn₃S₈ birləşməsini almaq üçün ilkin komponent kimi AgNO₃ və SnS₂ birləşmələrindən istifadə edilmişdir. 0,1 M gümüş-nitratın suda məhlulu və qalay(IV) sulfidin etilendiamində məhlulu hazırlanmış və aşağıdakı reaksiya tənliyinə əsasən 1:1 mol nisbətində qarışdırılmışdır:



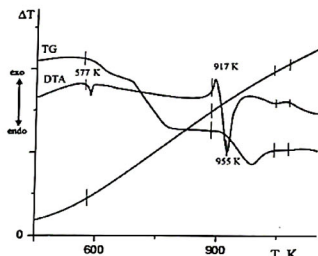
Məhlulun pH-1 4 olana kimi məhlula 0,1 M HNO₃ məhlulu əlavə edilmişdir. Reaksiya qarışığı avtoklavla (100 ml) yerləşdirilmiş, 353 K temperaturda 24 saat müddətində elektrik sobasında qızdırılmışdır. Sintez başa çatıldıqdan sonra çöküntü süzülmüş, əvvəlcə 0,1 M HNO₃, sonra isə distillə suyu və etanolu yuyulmuşdur. Təmizlənmiş çöküntü 353 K temperaturda (2 saat müddətində) vakuumda qurudulmuşdur.

Nəticələrin müzakirəsi. Alınmış Ag₄Sn₃S₈ birləşməsinin fərdiliyi RFA (2D PHASER "Bruker", CuK_α, 2q, 20-80 dər.) və DTA (pirometrit HTP-70, cihaz Termoskan-2) metodları vasitəsilə təsdiq edilmişdir. RFA nəticələrindən məlum olmuşdur ki, difraktoqramda müşahidə olunan intensivlik maksimumları Ag₄Sn₃S₈ birləşməsinə uyğundur. Lakin kristallaşma dərəcəsi (47%) az olduğu üçün maksimumlardan nisbətən yaygınlıq müşahidə edilir. Buna baxmayaraq, difraktoqram əsasında cihazın verdiyi strixdiaqramı Ag₄Sn₃S₈ birləşməsinin fərdiliyini tam təsdiq edir (şəkil 1). Difraktoqramın analizindən belə nəticəyə gelmişdir ki, Ag₄Sn₃S₈ birləşməsinin çöküntüsü nanoquruluşluudur. Birləşməni 955 K temperaturda termiki emal etdiğədə kub sinqoniyada (F. qr.: $P4_32$; qəf. p.: $a = 1,0801 \text{ nm}$ və $Z = 4$) kristallaşır.

DTA nəticələrindən məlum olmuşdur ki, Ag₄Sn₃S₈ birləşməsi 577 K-də polimorf çevrilməyə uğrayır. 917 K-də Ag₄Sn₃S₈ birləşməsi Ag₂Sn₃S₈ → 2Ag₂Sn₃S₈ + SnS₂ reaksiyası üzrə parçalanır. 955 K-də inkonqruent ərimə müşahidə olunur. Alınmış nəticələr adəbiyyat məlumatları ilə yaxşı uyğun gəlmişdir [1, 2]. Ag₄Sn₃S₈ nümunəsinə vakuumda 965 K temperaturda 2 saat termiki emal etdiğən sonra RFA nəticələrindən məlum oldu ki, ərintinin tərkibi Ag₂Sn₃S₈ + SnS₂ qarışığından ibarət olur.

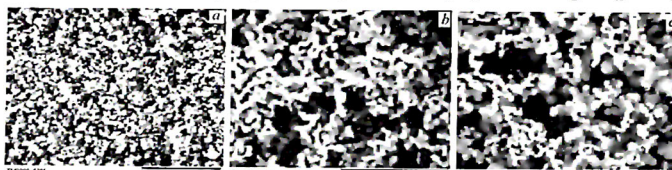


Şəkil 1. Ag₄Sn₃S₈ birləşməsinin difraktoqramı.



Şəkil 2. $\text{Ag}_4\text{Sn}_3\text{S}_8$ birləşməsinin DTA əyrisi.

353 K temperaturda alınmış $\text{Ag}_4\text{Sn}_3\text{S}_8$ birləşməsinin mikromorfologiyası skanedici elektron mikroskopunda SEM (HITACHI TM 3000, Made in Japan) öyrənilmişdir (şəkil 3). Müəyyən edilmişdir ki, $\text{Ag}_4\text{Sn}_3\text{S}_8$ birləşməsinin çöküntüsü nanohissəciklərdən təşkil olunub. Hissəciklərin ölçüsü 40–150 nm arasında dayıdır və aralarında güclü adheziya müşahidə olunur. Müəyyən edilmişdir ki, hissəciklərin ölçüsü temperaturdan, ilkin maddələrin qatılığında və termiki emal müddətindən asılıdır. Belə ki, 353 K temperaturda termiki emal müdдəti 48 saat olduqda hissəciklərin ölçüsü 2-3 dəfə böyür (şəkil 3, a). Temperatur arttdıqda isə hissəciklər arasında adheziya artır və bununla olaqadır olaraq mikrohissəciklər formalasır (şəkil 3, b). Ilkin maddələrin qatılığını artırıdqa daha iri aqreqatlar əmələ gəlir (şəkil 3, c).



Şəkil 3. $\text{Ag}_4\text{Sn}_3\text{S}_8$ birləşməsinin SEM şəkilləri:

a – 353 K, 0,01 M məhlul; b – 373 K, 0,05 M məhlul; c – 403 K, 0,1 M məhlul.

$\text{Ag}_4\text{Sn}_3\text{S}_8$ birləşməsinin alınmasına mühitin pH-nın təsiri öyrənilmişdir. Müəyyən edilmişdir ki, 353 K temperaturda mühitin pH-ı 3,5-4 olduqda birləşmə daha tozlu haldə alınır. pH<2 olduqda alınmış çöküntünün tərkibi Ag_2S , Ag_2Sn_3 və SnS_2 birləşmələrinin qarışığından ibarət olur. pH>5 olduqda isə çöküntüdə oksitiduzlar üstünlük təşkil edir. Mühitin pH-nın və temperaturun $\text{Ag}_4\text{Sn}_3\text{S}_8$ birləşməsinin çıxımına təsiri cədvəl 1-də verilmişdir.

Cədvəl 1

$\text{Ag}_4\text{Sn}_3\text{S}_8$ birləşməsinin çıxımına mühitin pH-nın və temperaturun təsiri

| Temperatur, K | pH | $\text{Ag}_4\text{Sn}_3\text{S}_8$ birləşməsinin kütlos. gr | $\text{Ag}_4\text{Sn}_3\text{S}_8$ birləşməsinin çıxımı, % |
|---------------|-----|---|--|
| 323 | 3 | 208 | 92,03 |
| 353 | 3,5 | 214 | 94,69 |
| 403 | 3,8 | 221 | 97,79 |
| 453 | 4 | 219 | 96,90 |

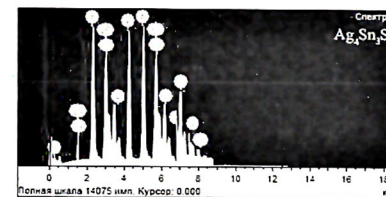
Cədvəl 1-dən göründüyü kimi, $\text{Ag}_4\text{Sn}_3\text{S}_8$ birləşməsinin maksimum çıxımı T=403 K və pH=3,8 olduqda müşahidə olunur.

Kimyəvi və termogravimetrik (TQ) (NETZSCH STA 449F3) analiz metodları vasitəsilə $\text{Ag}_4\text{Sn}_3\text{S}_8$ birləşməsinin tərkibini analiz edilmiş və stexiometrik tərkibi dəqiqləşdirilmişdir (cədvəl 2). Birləşmənin tərkibinin element analizi (Launch Trion XL dilution refrigerator - OXFORD cihazında) aparılmış və enerji-dispers spektri çəkilmişdir. Alınan nəticələrə əsasən, birləşmələrin tərkibindəki gümüş, qalay və kukürdün kütlü və atom payları təyin edilmişdir (cədvəl 2, şəkil 4).

Cədvəl 2

$\text{Ag}_4\text{Sn}_3\text{S}_8$ birləşməsinin element tərkibi

| Birləşmə | Elementlərin kütle payı, % | | | | | | |
|------------------------------------|----------------------------|-------|-------|-------|-------|-------|--|
| | Ag | | Sn | | S | | |
| nəz. | prak. | nəz. | prak. | nəz. | prak. | | |
| $\text{Ag}_4\text{Sn}_3\text{S}_8$ | 41,34 | 41,33 | 34,16 | 34,15 | 24,5 | 24,52 | |



Şəkil 4. $\text{Ag}_4\text{Sn}_3\text{S}_8$ birləşməsinin enerji-dispers spektri.

Analiz nəticələrindən məlum olmuşdur ki, $\text{Ag}_4\text{Sn}_3\text{S}_8$ birləşməsinin tərkibində cüzi miqdarda (0,01-0,03%) sarbət kukürd vərdir. Bunun səbəbini qalay(IV) sulfidin turş mühitdə (pH=0-2) alınması zamanı cüzi miqdarda S^{2-} ionlarının oksidləşməsi ilə izah etmək olar.

Nəticə:

1. Gümüş-nitratın suda məhlulu və qalay(IV) sulfidin etilendiamində məhlulundan istifadə edərək hidrotermal şəraitdə fərdi $\text{Ag}_4\text{Sn}_3\text{S}_8$ birləşməsi alınmışdır;

2. $\text{Ag}_4\text{Sn}_3\text{S}_8$ birləşməsinin fərdiliyi RFA və DTA metodları vasitəsilə təsdiq edilmiş, kristal qəfəsin parametrləri, polimorf çevirmə və ərimə temperaturları dəqiqləşdirilmişdir;

3. Müxtəlif temperaturlarda (353 K, 373 K və 403 K) alınmış $\text{Ag}_4\text{Sn}_3\text{S}_8$ birləşməsinin mikromorfologiyası öyrənilmişdir;

4. Birleşmənin tərkibi kimyəvi, termogravimetric və element (energi-dispers spektri) analiz metodları vasitəsilə tədqiq edilmiş və sadə formulu dəqiqləşdirilmişdir.

ƏDƏBİYYAT

1. Бабанлы М.Б., Юсубов Ю.А., Абшев В.Т. Трехкомпонентные халькогениды на основе меди и серебра. Баку: БГУ, 1993, 342 с.
2. Babanly M.B., Yusibov Y.A., Babanly N.B. The EMF method with solid-state electrolyte in the thermodynamic investigation of ternary Copper and Silver Chalcogenides / Electromotive force and measurement in Several systems. Ed.S., Kara. Intechweb. Org., 2011, pp. 57-78 (ISBN 978-953-307-728-4).
3. Гусейнов Г.М. Получение наночастиц $\text{Ag}_2\text{Sn}_2\text{S}_5$ в системе $\text{AgNO}_3\text{-SnS}_2\text{-}(\text{CH}_3)_2\text{NHCO}$ // Матер. Межд. научно-практ. конф. «Химия и экология-2015». Салават: УГНТУ, 2015, с. 143.
4. Гусейнов Г.М. Получения соединения $\text{Ag}_2\text{Sn}_3\text{S}_3$ в системе $\text{AgNO}_3\text{-SnS}_2\text{-C}_2\text{H}_4(\text{OH})_2$ // Science and world, № 4 (32), 2016, v. 1, pp. 87-89.
5. Гусейнов Г.М. Получение соединения $\text{Ag}_8\text{Sn}_6\text{S}_6$ в среде диметилформамида // Вестник Томского Государственного Университета, 2016, с. 29-33.
6. Gorochov O. Les composes Ag_8MX_6 ($\text{M} = \text{Si}, \text{Ge}, \text{Sn}$ et $\text{X} = \text{S}, \text{Se}, \text{Te}$) // Bull. Soc. Chim. Fr., 1968, pp. 2263-2275.
7. Huseynov G.M., İmanov H.E., Cəfərli M.M., İbrahimova L.N. Investigation of synthesis and thermodynamic properties of silver thiostannates in water and ethylen glycol condition // European journal of natural history, Moskow, 2018, № 4, pp. 17-22, ISSN 2073-4972, IF 0,527.
8. Wang N., Fan A.K. An experimental study of the $\text{Ag}_2\text{S-SnS}_2$ pseudobinary join // Neues Jahrb. Mineral., Abh., 1989, v. 160, pp. 33-36.
9. Wang N. New data for $\text{Ag}_8\text{Sn}_6\text{S}_6$ (canfeildite) and Ag_8GeS_6 (argyrodite) // Neues Jahrb. Mineral., Monatsh., 1978, pp. 269-272.

AMEA Naxçıvan Bölümü
E-mail: qorxmazhuseynli@rambler.ru

Gorkhmal Huseynov

PRODUCTION AND INVESTIGATION OF THE PHYSICAL-CHEMICAL PROPERTIES OF $\text{Ag}_4\text{Sn}_3\text{S}_8$ COMPOUND

The obtaining conditions by the hydrothermal method of the $\text{Ag}_4\text{Sn}_3\text{S}_8$ compound on the basis of the aqueous solution of silver-nitrate and tin(IV) sulfide in ethylenediamine solution were investigated in this study. The individuality of the compound was confirmed by differential-thermal (DTA) and X-ray phase analysis methods. It was found that $\text{Ag}_4\text{Sn}_3\text{S}_8$ decomposes at 917 K by the reaction $\text{Ag}_4\text{Sn}_3\text{S}_8 \rightarrow 2\text{Ag}_2\text{SnS}_3 + \text{SnS}_2$, and incongruent melts at 955 K. When the compound is thermally processed at a temperature of 470 K, it crystallizes in cubic syngony. The micromorphology of the $\text{Ag}_4\text{Sn}_3\text{S}_8$ compound has been studied by scanning electron microscopic (SEM) analysis, and the effects of temperature, concentration, and

thermal processing time on the measurement effects and shape of nanostructures have been investigated. It was found that nanoparticles are formed at 353 K but microparticles at 373 K and 403 K. The composition of the compound was studied by chemical, thermogravimetric and elemental analysis (energy-dispersion spectrum) methods and the simple formula was clarified.

Keywords: system, silver thiostannate, silver nitrate, tin(IV) sulfide, solution, temperature, polymorphic transformation, thermal processing, micromorphology, analysis, composition.

Горхмаз Гусейнов

ПОЛУЧЕНИЕ И ИССЛЕДОВАНИЕ ФИЗИКО-ХИМИЧЕСКИХ СВОЙСТВ СОЕДИНЕНИЯ $\text{Ag}_4\text{Sn}_3\text{S}_8$

В данной работе исследованы условия получения соединения $\text{Ag}_4\text{Sn}_3\text{S}_8$ на основе водного раствора нитрата серебра и сульфида олова (IV) в растворе этилендиамина гидротермальным методом. Индивидуальность соединения была подтверждена методами дифференциального-термического (DTA) и рентгеновского (РФА) анализа. Установлено, что $\text{Ag}_4\text{Sn}_3\text{S}_8$ разлагается при 917 К по реакции $\text{Ag}_4\text{Sn}_3\text{S}_8 \rightarrow 2\text{Ag}_2\text{SnS}_3 + \text{SnS}_2$ и неконгруэнтно плавится при 955 К. При термической обработке соединение при температуре 470 К кристаллизуется в кубической сингонии. Микроморфология соединения $\text{Ag}_4\text{Sn}_3\text{S}_8$ изучена с помощью сканирующего электронного микроскопа (СЕМ). Исследованы влияние температуры, концентрации и времени термической обработки на эффекты измерения и форму наноструктур. Установлено, что наночастицы образуются при 353 К, а микрочастицы при 373 К и 403 К. Состав соединения изучали методами химического, термогравиметрического и элементного анализа (энергетический дисперсионный спектр) и уточнены простую формулу.

Ключевые слова: система, тиостаннат серебра, нитрат серебра, сульфид олова(IV), раствор, температура, полиморфное превращение, термическая обработка, микроморфология, анализ, состав.

(AMEA-nın müxbir üzvü Təfiq Əliyev tərəfindən təqdim edilmişdir)

| | | |
|-------------------|----------------|------------|
| Daxilolma tarixi: | İllkin variant | 21.02.2020 |
| | Son variant | 14.05.2020 |